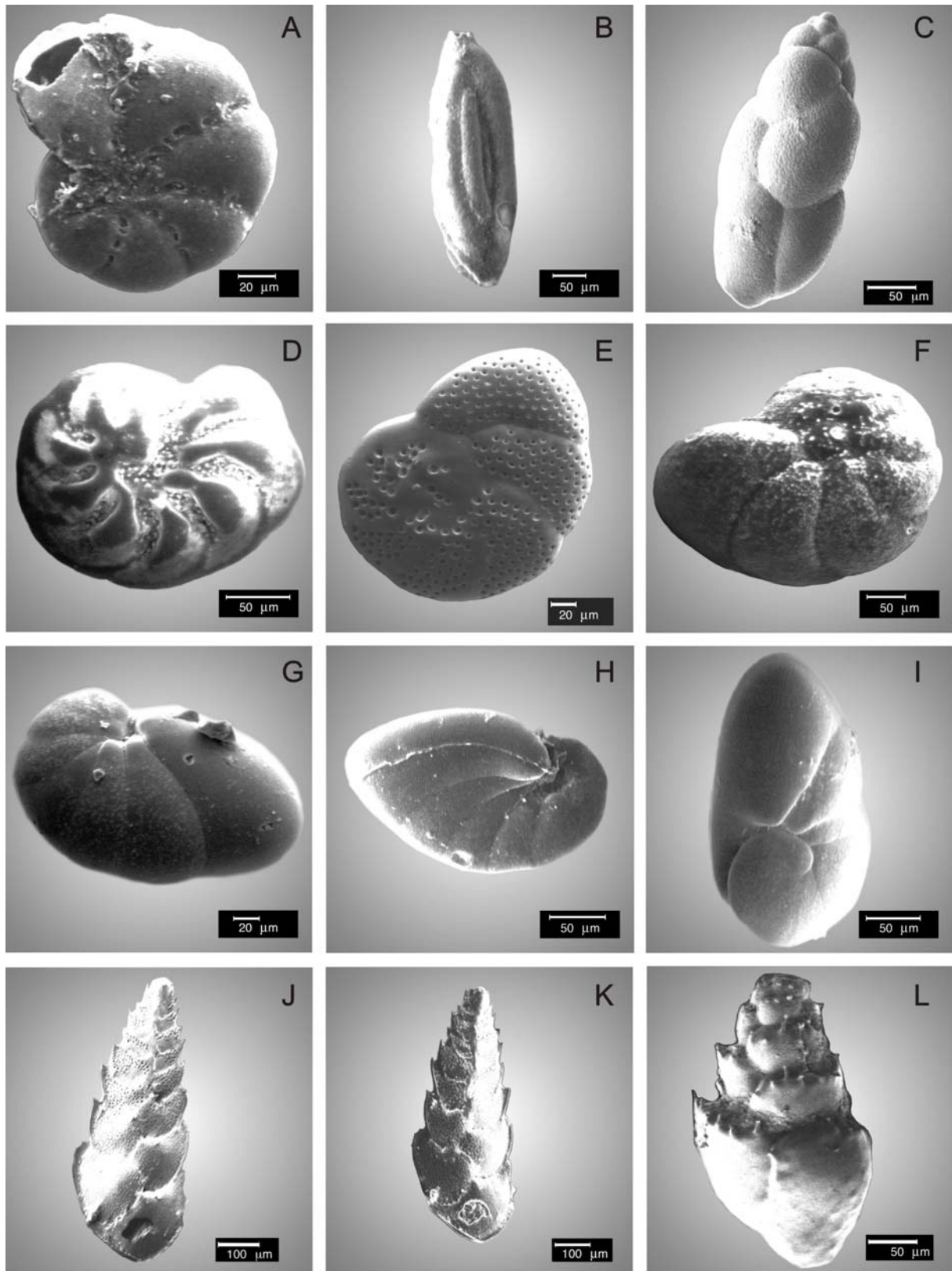


7 *Anhang*

Tafel 1

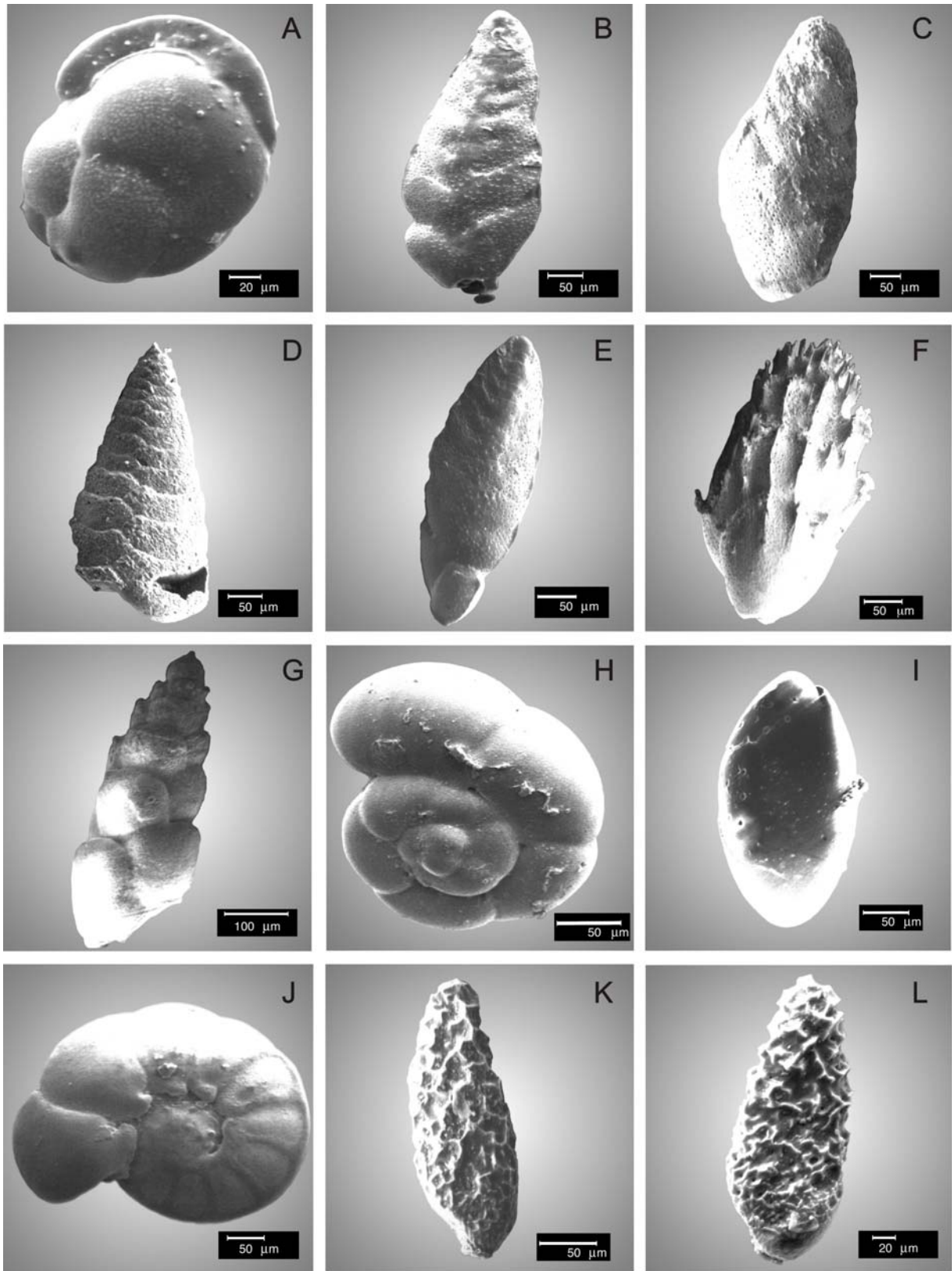


Tafel 1: A; *Aubygynia perlucida* (P)
 D; *Haynesina* sp (P)
 G; *Nonionella opima* (P)
 J; *Brizalina alata* (P)
 (P) Pionierfauna (S) suboxische Fauna

B; *Adelosina cliariensis* (P)
 E; *Haynesina depressula* (P)
 H; *Nonionella opima* (P)
 K; *Brizalina alata* (P)

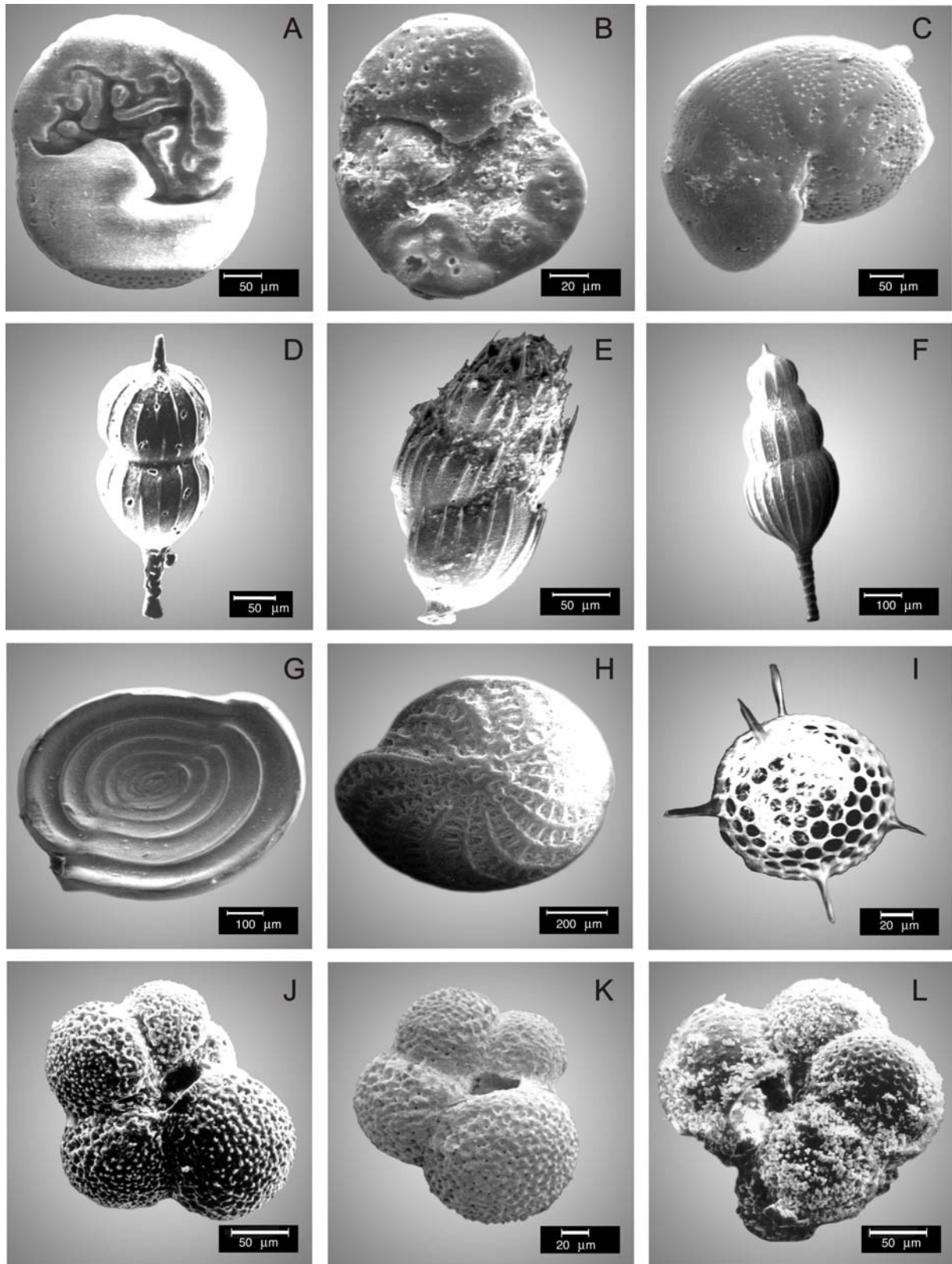
C; *Fursenkoina acuta* (P)
 F; *Haynesina depressula* (P)
 I; *Nonionella opima* (P)
 L; *Bulimina aculeata* (S)

Tafel 2



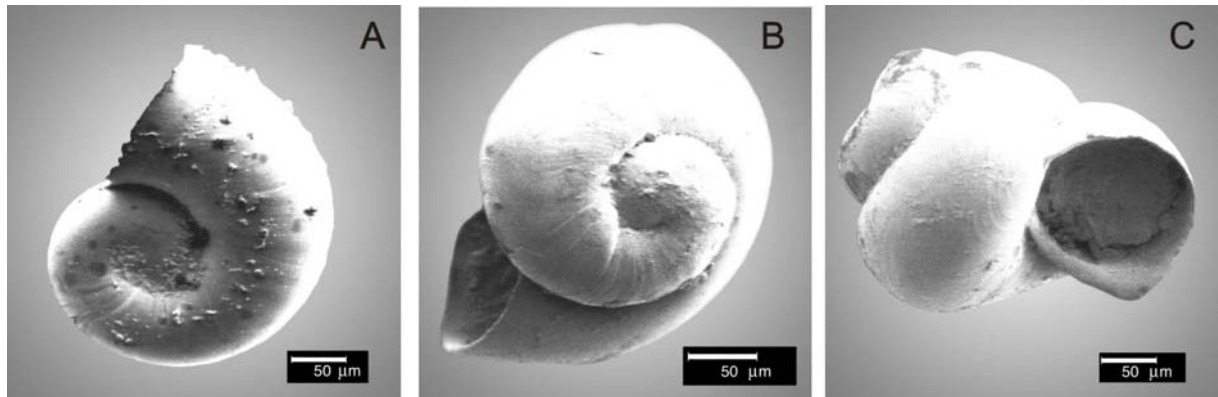
Tafel 2: A; *Cassidulina carinata* (P) B; *Brizalina carinata* (S) C; *Brizalina carinata* (S)
 D; *Brizalina deminuda* (S) E; *Brizalina deminuda* (S) F; *Bulimina costata* (S)
 G; *Bulimina elongata* (S) H; *Gyroinoides lamarckiana* (S) I; *Chilostomella mediterraneensis* (S)
 J; *Hyalinea baltica* (S) K; *Textularia* (S) L; *Textularia* (S)
 (P) Pionierfauna (S) suboxische Fauna

Tafel 3



Tafel 3: A; *Rosalina bradyi* (O) B; *Discorbinella bertheloti* (O) C; *Milliolinella* (O)
 D; *Lagena striata* (O) E; *Uvigerina bifurcata* (O) F; *Amphicorina scalaris* (O)
 G; *Spiroloculina tenuiseptata* (O) H; *Elphidium* (SC) I; *Radiolaria*
 J; *Turborotalita quinceloba* (PL) K; *Turborotalita quinceloba* (PL) L; *Turborotalita quinceloba* (PL)
 (O) Oxische Fauna (SC) Schelf Fauna (PL) Planktonische Fauna

Tafel 4



A; juvenile planktonisch lebende Gastropodenschalen (mündl. Mitt., Nützel, A, Erlangen)

Taxonomie

Die Taxonomie der benthischen Foraminiferen basiert auf Studien aus dem Mittelmeer (Cimerman & Langer, 1991; Sgarrella & Moncharmont Zei, 1993), aus dem Schwarzen Meer (Yanko & Troitskaja, 1987) und aus den Küstengewässern vor Neu-Seeland (Hayward et al., 1999).

Adelosina cliariensis (Heron-Allen & Earland, 1930)

Cimerman & Langer (1991), p.26, pl.18, fig.1-4

Ammonia sp. (Cimerman & Langer, 1991)

Cimerman & Lange (1991)r, p.77, pl.88, fig. 1-4

Aubignyna perlucida (Heron-Allen & Earland, 1930)

Yanko & Troitskaja, p.36 (1987), pl. 7, fig. 6-9; pl. 8, fig.1

Brizalina alata (Sequenza, 1862)

Cimerman & Langer (1991), p.59, pl.61, fig.12-14

Brizalina catanensis (Sequenza, 1862)

Sgarrella & Moncharmont Zei (1993), p.208, pl.11, fig.4-5

Brizalina deminuda (Reuss, 1850)

Cimerman & Langer (1991), p.59, pl.62, fig.2

Bulimia aculeata (d'Orbigny, 1896)

Cimerman & Langer (1991), p.75, pl.85, fig.8-9

Bulimia elongata (d'Orbigny, 1896)

Cimerman & Langer (1991), p.62, pl.64, fig. 3-8

Bulimia costata (d'Orbigny, 1896)

Sgarrella & Moncharmont Zei (1993), p.211, pl.15, fig.3

Cassidulina carinata (Silvestri, 1896)

Sgarrella & Moncharmont Zei (1993), p.236, pl.23, fig.8-9

Discorbinella bertheloti (d'Orbigny, 1896)

Hayward et al. (1999), p.152, pl.152, pl.14, fig.1-39

Elphidium macellum (Fitchel & Moll, 1789)

Cimerman & Langer (1991), p.78, pl.89, fig.9

Fursenkoina acuta (d'Orbigny, 1846)

Cimerman & Langer (1991), p.64, pl.67, fig.1-2

Gyroinoides lamarckiana (d'Orbigny, 1839)

Cimerman & Langer (1991), p.75, pl.85, fig.7-9

Haynesina depressula (Walker & Jakob, 1789)

Cimerman & Langer (1991), p.81, pl.83, fig.1-4

***Hyalinea baltica* (Schroeter, 1783)**

Sgarrella & Moncharmont Zei (1993), p.211, pl.15, fig.3

***Lagena striata* (d'Orbigny, 1839)**

Cimerman & Langer (1991), p.53, pl.55, fig.6-7

***Nonionella opima* (Cushman, 1947)**

Cimerman & Langer (1991), p.90, pl.20, fig.1-3

***Planorbulina meditteranensis* (d'Orbigny, 1826)**

Cimerman & Langer (1991), p.71, pl.78, fig.1-8

***Quinqueloculina* (Linné, 1788)**

Cimerman & Langer (1991), p.38, pl.34, fig.9-12

***Rectuvigerina phlegeri* (Le Calvez, 1959)**

Sgarrella & Moncharmont Zei (1993), p.215, pl.16, fig.3-4

***Spiroloculina tenniseptata* (Brady, 1884)**

Cimerman & Langer (1991), p.31, pl.34, fig.6-9

***Textularia* (Said, 1949)**

Cimerman & Langer (1991), p.22, pl.10, fig.7-8

***Uvigerina meditteranea* (Hofker, 1932)**

Cimerman & Langer (1991), p.63, pl.65, fig.7-9

CIMERMAN, F.G., LANGER, M.R. (1991), Mediterranean Foraminifera, Slovenska, Akademija Znanosti in Umetnosti Ljubljana, pp.118, pl.1-93.

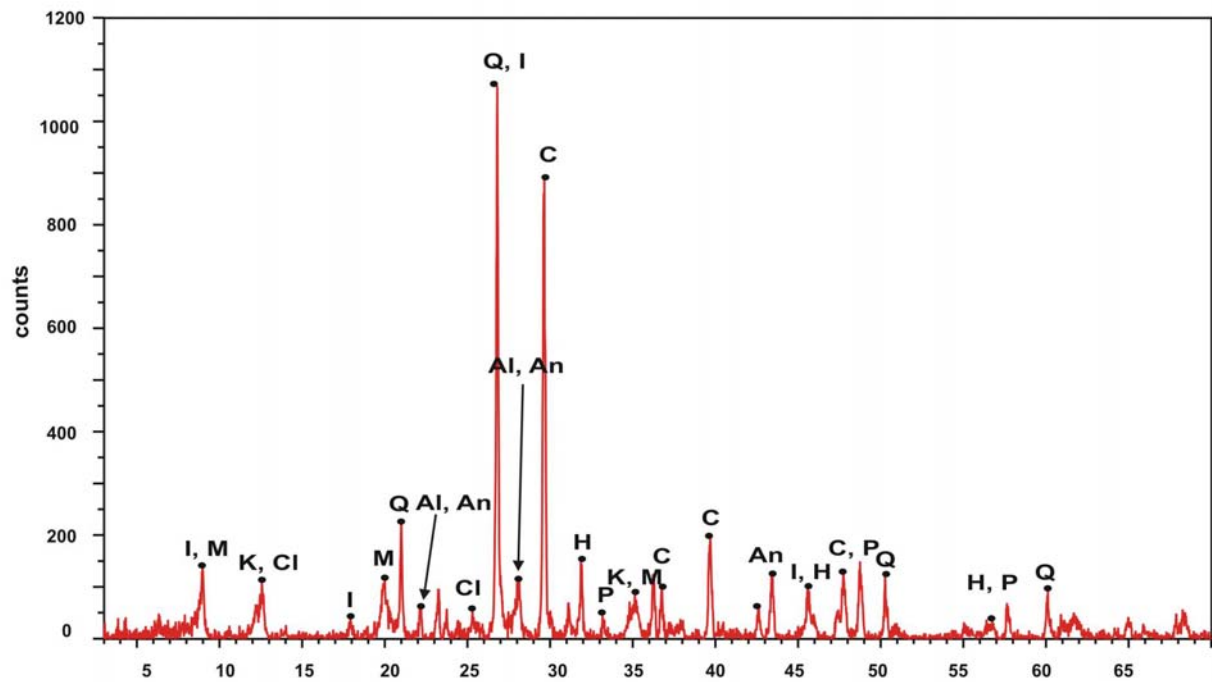
HAYWARD B.W., GRENFELL, H.R., REID, G.M., HAYWARD, K.A. (1999), Recent New Zealand shallow water benthic foraminifera: taxonomy, ecologic distribution, biogeography, and use in paleoenvironmental assessment, Inst. Geol. Nucl. Scien. Monogr., **21**, 1-258.

SGARRELLA, F., MONCHARMONT ZEI, M. (1993), Benthic foraminifera of the Gulf of Naples, Italy: Systematics and autoecology, Boll. Coc. Paleontol. Ital., **32**, 145-264.

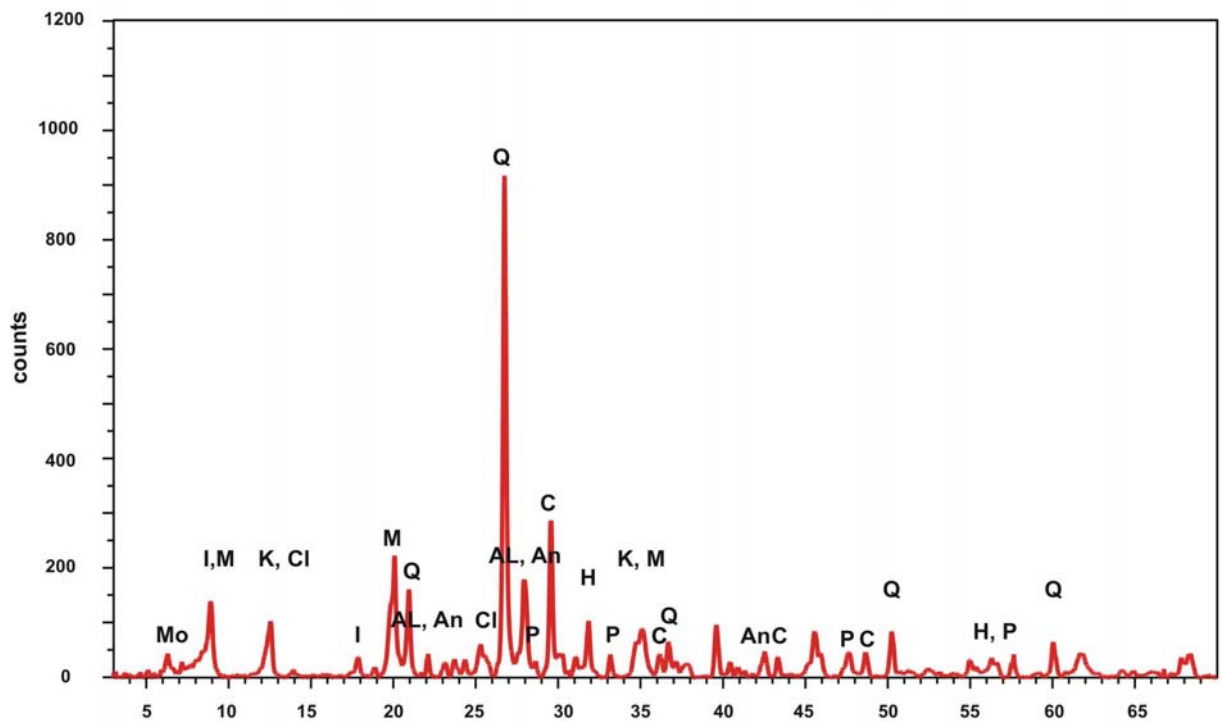
YANKO, V.V., TROITSKAJA, T.S. (1987), Late Quaternary Foraminifera of the Black Sea (in Russian), Trudy Instituta Geologii, Geofiski, Akademiya Nauk SSSR, Novosibirsk, 694, 111 pp.

Tafel 5

SL 160, , 305 cm, karbonatreiche Lage

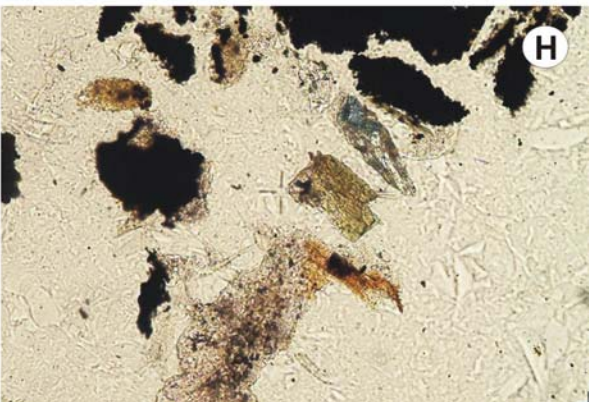
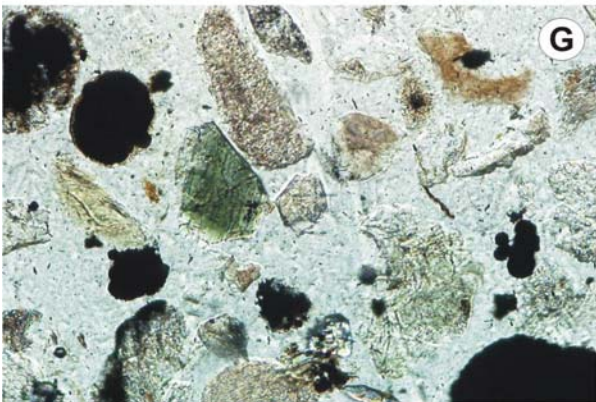
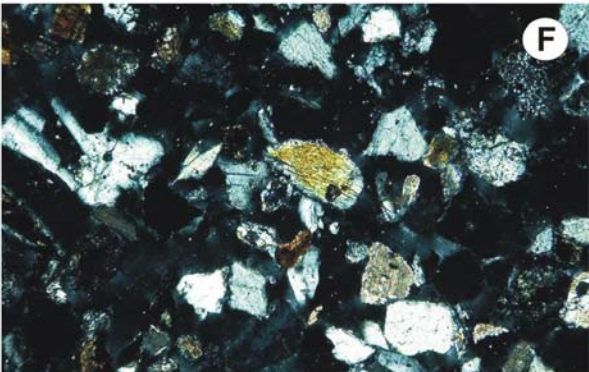
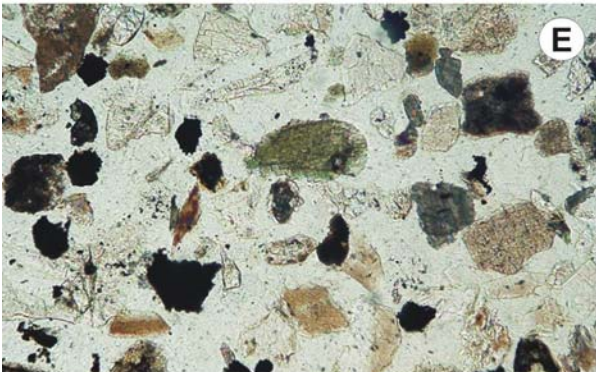
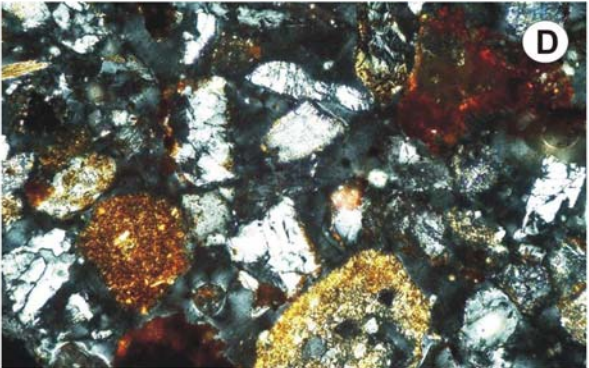
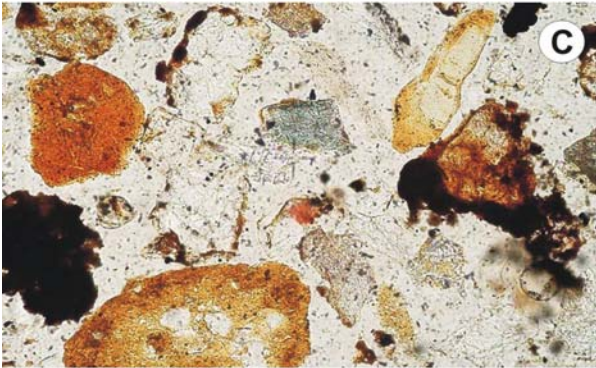
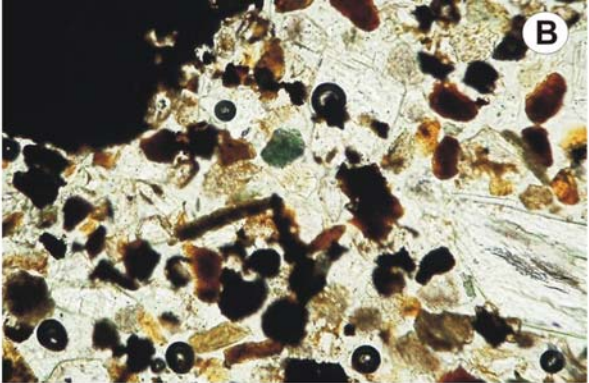
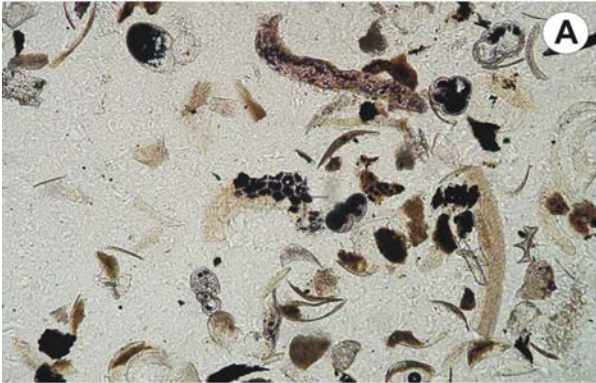


SL 160, 411 cm, Einheit D



Zusätzliche RDA-Diffraktogramme aus Kern SL 160. . I: Illit; M: Muskovit; K: Kaolinit; Cl: Chlorit; Q: Quarz; Al: Albit; An: Anorthit; C: Kalzit; H: Halit; P: Pyrit.

Tafel 6



Beschriftung Tafel 6:

Sedimentdünnschliffe

A; SL 160-276 cm, viele pyritisierte Schalenbruchstücke und Organismenreste. Diese Probe stammt aus Einheit B
(horizontale Kantenlänge = 1mm)

B; KL 40, 244cm, Sedimentdünnschliff aus einer relativ stark pyritisierten groben Lage, unter anderem ist ein grünlicher Pyroxen in Bildmitte zu erkennen. (horizontale Kantenlänge = 1mm)

C; KL 40, 214cm, Pyroxenbruchstück in relativ grober sedimentärer Lage. Es sind unter anderem größere Sedimentkonkretionen erkennbar, die teilweise stark von Pyrit durchsetzt sind.
(horizontale Kantenlänge = 1mm)

D; KL 40, 214cm, Gleiches Bild wie C, mit gekreuzten Polarisatoren. In dieser Darstellung sind die Quarz-Komponenten sehr gut erkennbar.
(horizontale Kantenlänge = 1mm)

E; SL 160, 350cm, Ein relativ großer Pyroxen (\varnothing 150 μ m) aus dem Top der Einheit D.
(horizontale Kantenlänge = 1mm)

F; SL 160, 350cm, Gleiche Probe wie in E mit gekreuzten Polarisatoren. Neben dem Pyroxen in Bildmitte sind viele Quarz und Feldspat-Buchstücke zu erkennen.
(horizontale Kantenlänge = 1mm)

G; SL 160, 358cm, grüner Pyroxen in Bildmitte (\varnothing 110 μ m) neben einzelnen pyritisierten Komponenten(horizontale Kantenlänge = 1mm)

H; SL 160, 358cm, Pyroxenbruchstück in Bildmitte (\varnothing 110 μ m), durch die etwas schlechtere Ausleuchtung ist die grünliche Eigenfarbe des Minerals nicht deutlich zu erkennen. Allerdings sind Spaltwinkel von 90° zu erkennen, diese sind typisch für Pyroxene.
(horizontale Kantenlänge = 1mm)